

Министерство науки и высшего образования Российской Федерации

Томский государственный университет
систем управления и радиоэлектроники

Кологривов В. А.
Сузdal'cova E.B.

**ИССЛЕДОВАНИЕ BPSK МОДЕМА С СИНХРОННЫМ ДЕТЕКТИРОВАНИЕМ И
КОРРЕЛЯЦИОННЫМ ПРИЁМОМ**

Методические указания по лабораторной работе в среде функционального моделирования
Simulink системы MatLab для студентов радиотехнических специальностей

Томск 2022

УДК 621.396

ББК 32.844

К 61

Рецензент:

Мещеряков А.А., доцент кафедры радиотехнических систем ТУСУР, канд. техн. наук

Кологривов В. А., Сузdal'цева Е. В.

К 61 Исследование **BPSK** модема с синхронным детектированием и корреляционным приёмом: методические указания по лабораторной работе для студентов радиотехнических специальностей / Кологривов В. А., Сузdal'цева Е. В. – Томск: Томск. гос. ун-т систем упр. и радиоэлектроники, 2022 – 26 с.

Настоящие методические указания по лабораторной работе составлены с учетом требований федерального государственного образовательного стандарта высшего образования (ФГОС ВО).

Лабораторная работа «Исследование **BPSK** модема с синхронным детектированием и корреляционным приёмом» с использованием пакета функционального моделирования *Simulink* системы для инженерных и научных расчетов *MatLab*.

Работа “Исследование **BPSK** модема с синхронным детектированием и корреляционным приёмом” относится к циклу лабораторных работ по разделу “Модуляция/Демодуляция”, входящему в дисциплины радиотехнических специальностей.

В описании сформулирована цель лабораторной работы, приведены краткие теоретические сведения о **BPSK** модуляции, краткая характеристика пакета *Simulink* системы *MatLab*, описание виртуального лабораторного макета и используемых блоков библиотеки *Simulink*, а также требования к модельному исследованию и контрольные вопросы, ответы на которые необходимы для успешной защиты лабораторной работы.

Одобрено на заседании каф. РТС протокол № 3 от 27.10.22

УДК 621.396

ББК 32.844

© Кологривов В. А., Суздал'цева Е. В., 2022

© Томск. гос. ун-т систем упр. и
радиоэлектроники, 2022

ОГЛАВЛЕНИЕ

1 ЦЕЛЬ РАБОТЫ. КРАТКИЕ ТЕОРЕТИЧЕСКИЕ СВЕДЕНИЯ О BPSK-МОДУЛЯЦИИ	4
1.1 Краткие теоретические сведения	4
1.2 Математическое описание <i>BPSK</i> модуляции.....	6
2 ОПИСАНИЕ ФУНКЦИОНАЛЬНЫХ SIM-МОДЕЛЕЙ BPSK-МОДЕМА.....	7
3 ПРИНЦИП РАБОТЫ ФУНКЦИОНАЛЬНОЙ SIM-МОДЕЛИ BPSK-МОДЕМА	13
4 КРАТКОЕ ОПИСАНИЕ ПАКЕТА SIMULINK И ИСПОЛЬЗУЕМЫХ БЛОКОВ	17
4.1 Запуск и работа с пакетом <i>Simulink</i>	17
4.2 Описание используемых блоков библиотеки <i>Simulink</i>	19
5 ЭКСПЕРИМЕНТАЛЬНОЕ ЗАДАНИЕ.....	24
6 КОНТРОЛЬНЫЕ ВОПРОСЫ.....	25
СПИСОК ИСПОЛЬЗОВАННЫХ ИСТОЧНИКОВ	26

1 ЦЕЛЬ РАБОТЫ. КРАТКИЕ ТЕОРЕТИЧЕСКИЕ СВЕДЕНИЯ О BPSK-МОДУЛЯЦИИ

Цель работы: исследование **BPSK** модуляции – помехоустойчивости, энергетической и спектральной эффективности, сравнение способов приёма и установление основного достоинства связанного с лучшей среди **MPSK** помехоустойчивостью с использованием пакета функционального моделирования *Simulink*.

1.1 Краткие теоретические сведения

PSK модуляция относится к узкополосной технологии формирования и использования радиосигналов.

Наиболее простой является **BPSK** модуляция. Информационный битовый поток одновременно является модулирующим, то есть бит является управляющим символом. Модулятор **BPSK** представляет собой перемножитель биполярного информационного потока и гармонического колебания несущей частоты, то есть **BPSK** модуляция это манипуляция фазы несущего колебания.

Демодуляция **BPSK** представляет собой приёмник прямого преобразования, при котором принятый модулированный сигнал умножается на опорное колебание несущей частоты. В результате образуется разностный продукт нулевой частоты, содержащий модулирующий сигнал и суммарный продукт второй гармоники несущего колебания. Суммарный продукт преобразования отфильтровывается с помощью ФНЧ, а разностный продукт регенерируется по форме до передаваемого битового потока. Иногда прямое преобразование спектра принимаемого сигнала называют синхронным детектированием.

Вторым возможным способом приёма и обработки **BPSK** модулированного сигнала является корреляционный приём. При этом в буферах плеч коррелятора накапливаются отсчеты опорного гармонического колебания и отсчеты принятого в шумах **BPSK** модулированного сигнала. Далее накопленные в течении бита отсчеты скалярно перемножаются (то есть скалярно перемножаются и суммируются) и нормируются к ± 1 . Это соответствует вычислению автокорреляционной функции при нулевом смещении $\tau = 0$.

Биполярная версия информационного битового потока соответствует состояниям $\pm E$ и межсигнальному расстоянию $2E$, где E - энергия сигнала. Это максимальное межсигнальное расстояние соответствует наибольшей помехоустойчивости **BPSK** или энергетической эффективности.

Спектральная эффективность **BPSK** определяется длительностью бита или скоростью передачи битового потока. В первом приближении спектр псевдослучайного информационного потока приравнивается к спектру биполярного меандра (последовательность прямоугольных импульсов со скважностью 2). Это означает, что при длительности бита τ_b ширина основного лепестка спектра составляет $2\pi/\tau_b$ радиан/сек. Величины фазовых переходов при **BPSK** модуляции составляют **0** и **π** радиан, что приводит к заметным переходным процессам в полосовом фильтре (провале огибающей радиосигнала) и предъявляет повышенные требования к линейности используемых усилителей мощности.

Следующей версией **PSK** модуляции является квадратурная фазовая манипуляция **QPSK** модуляция. В этом случае текущие биты группируются в пары (дибиты) $\tau_s = 2 \cdot \tau_b$. Скорость передачи в два раза выше, чем у BPSK, передача одного символа эквивалентна передаче двух битов. Дибиты могут принимать значения **00**, **01**, **10** и **11**. Каждому дибиту приписывается фазовое состояние, например, $\varphi_k = \pm \pi/4$, при этом используется так называемое кодирование по Грею (соседние состояния отличаются одним битом), что способствует равномерному распределению ошибок. Фазовое кодирование обычно выполняется программно. Далее от фазовых состояний вычисляются значения $\cos(\varphi_k)$ и $\sin(\varphi_k)$ и тем самым образуются квадратурные модулирующие импульсы длиной τ_s и

амплитудой $\pm 1/\sqrt{2}$, которые подаются на квадратурный модулятор.

Квадратурный модулятор состоит из двух умножителей (преобразователей) на первые входы которых поступают модулирующие импульсы, а на вторые входы опорные квадратурные колебания несущей $\cos(\omega_0 \cdot t)$ и $\sin(\omega_0 \cdot t)$. На выходе квадратурного модулятора стоит сумматор квадратурных составляющих модулированных несущих.

Демодулятор ***QPSK*** также имеет квадратурную структуру. Принятый модулированный сигнал разветвляется на первые входы умножителей (преобразователей), а на вторые входы подаются синхронизированные квадратурные опорные колебания несущих $\cos(\omega_0 \cdot t)$ и $\sin(\omega_0 \cdot t)$. На выходах умножителей ФНЧ пропускают только низкочастотные разностные продукты преобразования и подавляют суммарные высокочастотные продукты преобразования. Низкочастотные разностные продукты преобразователей, представляющие собой квадратурные проекции фазовых состояний поступают на вход программного блока фазового декодера, в котором определяется квадрант комплексной плоскости, определяемой проекциями. По квадранту восстанавливается принадлежащее ему фазовое состояние и соответствующий дубль как вектор. Далее преобразователь параллельного представления в последовательное представление на основе двух портового переключателя выдаёт текущие биты принятого дубля.

Вторым возможным способом приёма и обработки ***QPSK*** модулированного сигнала является корреляционный приём. При этом для каждого квадратурного канала реализуется свой коррелятор. На первом плече коррелятора в пределах принимаемого дубля накапливаются отсчеты синхронизированного опорного генератора, а на втором плече накапливаются отсчеты принятого в помехах ***QPSK*** модулированного сигнала. Скалярно перемножая накопленные отсчеты как вектора, восстанавливаем соответствующую квадратурную проекцию. Далее восстановленные квадратурные проекции фазового состояния подаём на программный блок фазового декодера и преобразователь параллельного представления в последовательное представление и на выходе получаем последовательный поток принятых битов.

Так как при ***QPSK*** модулирующие символы в два раза длиннее чем у ***BPSK*** ширина основного лепестка спектра сокращается вдвое. Четыре фазовых состояния, равномерно расположенные на окружности радиусом E дают межсигнальное расстояние $E\sqrt{2}$, а значит и меньшую помехоустойчивость.

При ***QPSK*** модуляции возможные фазовые переходы составляют $0, \pi/2$ и π радиан. Смена фазовых состояний вызывает переходные процессы в полосовом фильтре, что выражается в кратковременном изменении уровня огибающей модулированного сигнала и чревато появлением нелинейных искажений в усилителях мощности работающих в нелинейном режиме. Чем больше перепад фаз, тем больше провал огибающей и больше уровень нелинейных продуктов. В связи с этим желательно ограничить перепад фаз.

OQPSK – квадратурная модуляция со смещением является разновидностью ***QPSK*** модуляции в которой исключаются фазовые переходы на π радиан за счет смещения квадратурных модулирующих потоков на половину символа, что исключает одновременную смену управляющих символов. Формально смещение одного из модулирующих потоков на половину символа не должно влиять на энергетическую и спектральную эффективность, однако присутствие в структуре модема полосового фильтра ***RF*** способно заметно повлиять на ситуацию. Так возможность дальнейшего отслеживания смещения на 1 бит в демодуляторе заставляет при выборе полосы пропускания ориентироваться на τ_b , а не на τ_s . В свою очередь увеличение полосы пропускания полосового фильтра увеличивает уровень проходящих на демодулятор шумов, а значит, снижает помехоустойчивость канала передачи.

8PSK квадратурная модуляция – модулирующие символы по длительности равны трибитам, что эквивалентно снижению требуемой полосы в три раза. Трём битам соответствует 8 возможных фазовых состояний. Равномерное размещение 8-ми фазовых

состояний на окружности радиусом E приводит к сокращению межсигнального расстояния до $E \cdot 0.7654$, а значит и к снижению помехоустойчивости. Скорость передачи в три раза выше, чем у **BPSK**, передача одного символа эквивалентна передаче трёх битов. В отличие от **BPSK** и **QPSK** огибающая **8PSK** модулированного сигнала не постоянна.

16PSK квадратурная модуляция – модулирующие символы по длительности равны квадробитам, что эквивалентно снижению требуемой полосы в четыре раза. четырём битам соответствует **16** возможных фазовых состояний. Равномерное размещение **16**-ми фазовых состояний на окружности радиусом E приводит к сокращению межсигнального расстояния до $E \cdot 0.3902$, а значит и к снижению помехоустойчивости. Скорость передачи в четыре раза выше, чем у **BPSK**, передача одного символа эквивалентна передаче четырёх битов. В отличие от **BPSK** и **QPSK** огибающая **16PSK** модулированного сигнала не постоянна.

1.2 Математическое описание **BPSK** модуляции

Дадим простое математическое описание **BPSK** модуляции, используя структуру модема [1-3].

Обозначим текущее значение бита $d_k = \pm 1$, который является управляющим сигналом модулятора. В модуляторе (смесителе) управляющая последовательность перемножается с опорным гармоническим колебанием $x_k = d_k \sin(\omega t)$.

В модели канала распространения к переданному сигналу аддитивно добавляются шумы $y_k = d_k \sin(\omega t) + n_k$.

В демодуляторе зашумленный сигнал умножается на опорное колебание

$$\begin{aligned} z_k &= \langle d_k \sin(\omega t) + n_k \rangle \sin(\omega t) = d_k \sin^2(\omega t) + n_k \sin(\omega t) = \\ &= \frac{d_k}{2} (1 - \cos(2\omega t)) + n_k \sin(\omega t). \end{aligned}$$

На выходе ФНЧ после фильтрации высокочастотных составляющих имеем последовательность с точностью до постоянного коэффициента совпадающую и передаваемой информационной последовательностью $z_k \sim d_k / 2$.

2 ОПИСАНИЕ ФУНКЦИОНАЛЬНЫХ SIM-МОДЕЛЕЙ BPSK-МОДЕМА

Функциональная модель **BPSK** модема с приёмником прямого преобразования (синхронного детектирования) представлена на рис. 2.1.

Источник биполярной информационной последовательности реализован на основе генератора псевдослучайной последовательности с гауссовским распределением **Random Number** и блока двухстороннего ограничителя на основе функции $\text{sign}(x)$.

Модулятор **BPSK** сигнала реализован на основе блока **Product**, на один вход которого поступает биполярная информационная последовательность, а на второй – опорное гармоническое колебание с частотой $\omega_0 = 15 \cdot \pi$ радиан/сек - $\sin(\omega_0 t)$.

Простейшая модель канала распространения собрана на основе блока **Sum**, на второй вход которого поступает шумовая псевдослучайная последовательность с гауссовским распределением **Random Number**. Параметр генератора **Sample Time** позволяет реализовать необходимую широкополосность шумов канала распространения, а параметр **Variance** регулировать мощность шумов в процессе измерения помехоустойчивости (зависимости вероятности битовой ошибки от соотношения сигнал/шум **SNR**).

Полосовой фильтр с полосой пропускания $\Delta\omega = 4 \cdot \pi$ на основе блока **Analog Filter Design** призван отобразить формирующий фильтр на выходе передающей части и входную фильтрацию на входе приемной части.

BPSK демодулятор реализован подачей зашумлённого принятого радиосигнала на вход умножителя **Product**, на второй входы которого с генераторов **Sine Wave** подаются опорные колебания несущей частоты $\omega_0 = 15 \cdot \pi$ радиан/сек - $\sin(\omega_0 t)$. Система выделения и автоматической фазовой подстройки частоты опорного колебания в модели не представлена. На выходе умножителей установлен **ФНЧ (LF)** с полосой пропускания порядка $\Delta\omega = 2 \cdot \pi$ радиан/сек, для фильтрации высокочастотных продуктов преобразования. Блок **Gain = 2** призван компенсировать коэффициент тригонометрических преобразований равный **1/2**.

Далее сигнал поступает на регенератор формы битов, состоящий из блока экстраполятора нулевого порядка **Zero Order Hold** с шагом в **1** бит и блока двухстороннего ограничителя на основе функции $\text{sign}(x)$.

Подсистема **Subsystem Calc Err**, блоки **Display** и **Scope** призваны отображать число ошибок передачи и фиксировать моменты их возникновения.

Подсистема **Subsystem Measuring Power** и блок **Scope** призваны вычислять и отображать изменение уровня мощности сигнала или смеси сигнал+шум в процессе измерения помехоустойчивости. Точка подключения измерителя мощности обусловлена блоком принятия решений, который соответствует блоку **Zero Order Hold**.

Блоки **Spectrum Scope** и **Averaging Power Spectral Density** призваны отображать спектры сигнальных и шумовых потоков.

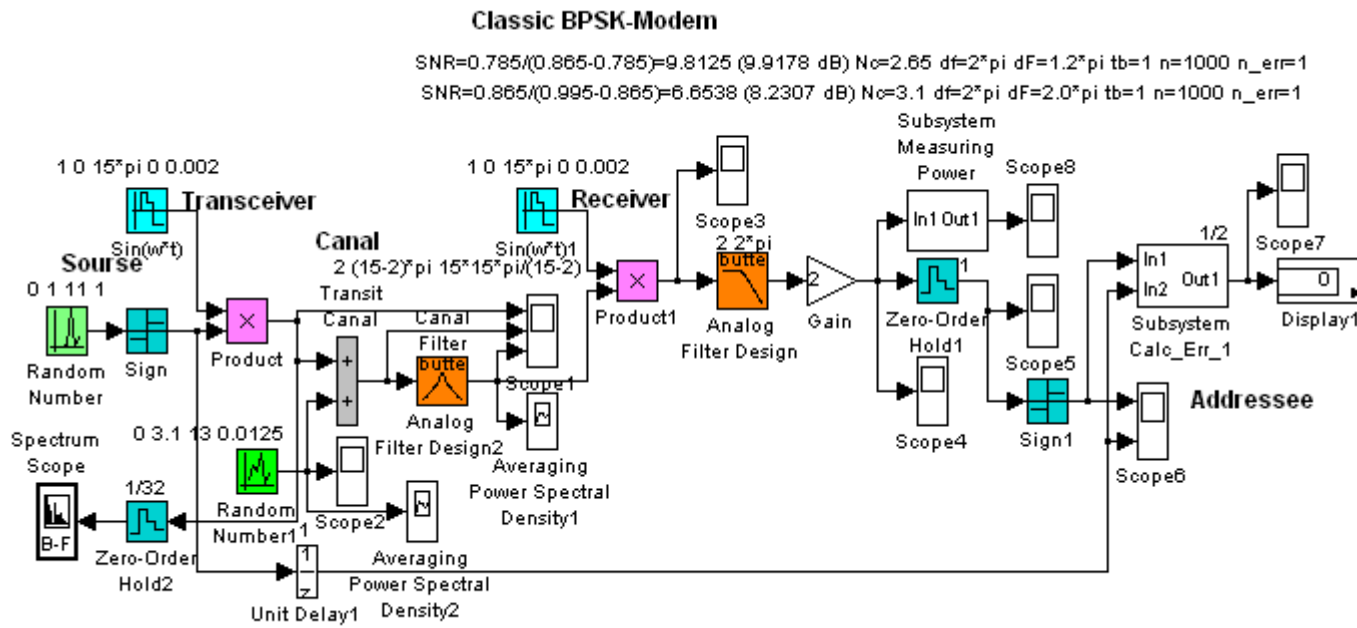


Рисунок 2.1 – Функциональная схема модели *BPSK*-модема с приёмником прямого преобразования

Функциональная модель **BPSK** модема с корреляционным приёмником представлена на рис. 2.2.

При корреляционном приеме определяется значение функции корреляции между принимаемым и опорным сигналом. Функция корреляции является функцией параметра смещения τ и обычно функция автокорреляции симметрична относительно $\tau = 0$ и может содержать боковые пики. Функция корреляции непрерывного сигнала определяется соотношением:

$$R(\tau) = \int x(\tau) * y(t - \tau) d\tau,$$

где $y(t) = x(t) + n(t)$;

$x(t)$ – полезный сигнал;

$n(t)$ – АБГШ.

При полном совпадении сигналов будет получен положительный максимум значения функции корреляции. Если сигналы находились в противофазе, то максимум станет отрицательным. При отсутствии похожести между сигналами значение функции корреляции будет равно нулю. При частичном совпадении и при наличии помех значение функции корреляции находится в диапазоне от нуля до значения ее максимума. Для дискретного и цифрового сигнала функция корреляции определяется через сумму произведения функций отсчетов

$$R(m) = \lim_{N \rightarrow \infty} \frac{1}{N} \sum_{n=0}^{\infty} x(n) \cdot y(n - m).$$

При описании **BPSK** модема с корреляционным приёмником целесообразно остановиться на реализации корреляционного приема и обработке сигнала, поскольку передающие части модемов совпадают. Плечи корреляционного приёмника состоят из экстраполаторов нулевого порядка **Zero Order Hold** и блока **Buffer**, которые накапливают в течение бита отсчеты опорного колебания и принятого в шумах **BPSK** модулированного радиосигнала. Накопленные отсчеты, как вектора скалярно перемножаются и суммируются блоками **Product** и **Sum**. Блок **Frame Status Conversion** призван преобразовать фреймовый тип данных в тип **double**. В данном случае реализуется накопление **64** отсчетов в течение бита.

Такая упрощенная реализация корреляционной обработки позволяет найти отсчет автокорреляционной функции опорного колебания и зашумленного радиосигнала при смещении $\tau = 0$ и в зависимости от знака корреляции принять решение о приеме **1** или **-1**.

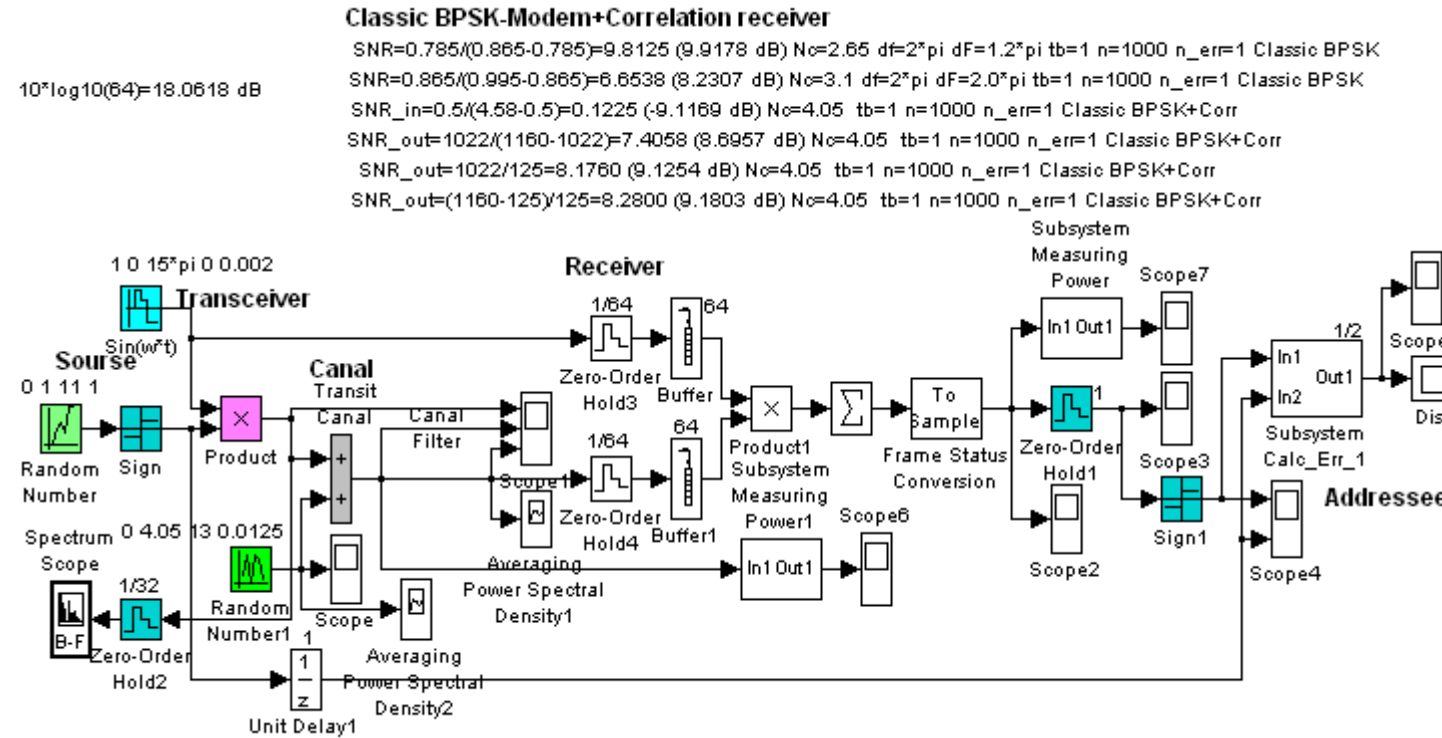


Рисунок 2.2 – Функциональная схема модели *BPSK*-модема с корреляционным приемником

Модель подсистемы детектора ошибок *Subsystem Calc Err* приведена на рис. 2.3.

В детекторе ошибок вычисляется интеграл от модуля разности входных последовательностей, т.е. площадь разностного процесса. Затем, в зависимости от длительности битов и одно- или биполярности подбирается множитель *Gain*, переводящий интеграл разности в эквивалентное количество битов (ошибок).

На первый вход подается сигнал, прошедший через всю схему, на второй вход поступает сигнал с генератора входной информационной последовательности с необходимой задержкой. К выходу подсистемы присоединены дисплей и осциллограф, на дисплее в случае наличия ошибок, будет указано их количество, а на осциллографе можно фиксировать время их возникновения.

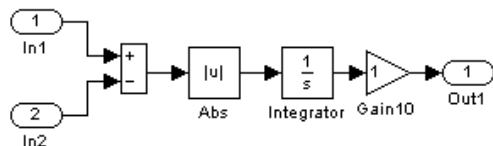


Рисунок 2.3 - Модель подсистемы детектора ошибок

Модель подсистемы измерителя мощности *Subsystem Measuring Power* приведена на рис. 2.4.

Подсистема позволяет измерить мощность как регулярных, так и случайных процессов, как вещественных, так и комплексных. С помощью блока *Dot Product* процесс умножается на сопряженный. Блоком *Complex to Real-Img* выделяется вещественная часть. Блок *Integrator* вычисляет энергию процесса, а деление блоком *Product* энергии на время (блок *Clock*) вычисляет мощность как скорость поступления энергии.

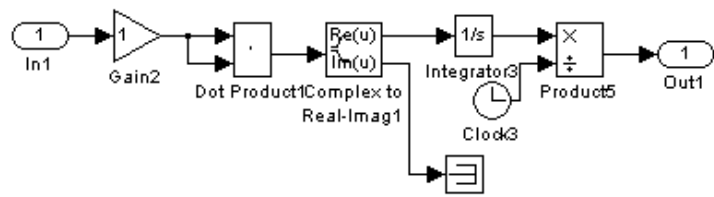


Рисунок 2.4 - Модель подсистемы измерителя мощности

Модель коррелятора. Корреляционный приемник реализован следующим образом (см. рис. 2.5):

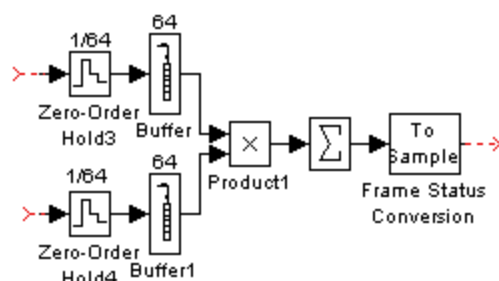


Рисунок 2.5 – Реализация корреляционного приемника

При реализации функциональной модели корреляционного приема решено ограничиться значением функции корреляции при $\tau = 0$.

Т.к. используются дискретные (цифровые) сигналы, то значение функции корреляции вычисляется через сумму произведений отсчетов принятого сигнала и колебаний опорного генератора соответствующей несущей. Модель коррелятора содержит два плеча накопления отсчетов. В каждом плече с помощью блоков **Zero-Order Hold** сигнал дискретизируется на отсчеты (в данном случае на **64**) и накапливается в блоках **Buffer**. Далее накопленные отсчеты попарно перемножаются в блоке **Product**. Затем вычисляется сумма этих произведений блоком **Sum**, т.е. реализуется скалярное произведение векторов накопленных отсчетов.

Измерение SNR. Отношение сигнал/шум (**SNR**) измеряется по следующей методике: для того чтобы определить мощность сигнала без шумовой составляющей **S** необходимо отсоединить генератор шума от модели канала распространения. Для того чтобы определить мощность смеси полезного сигнала с шумом **SN** генератор шумов должен быть подключен к каналу распространения. Изменение отношения сигнал/шум **SNR** достигается вариацией параметра дисперсии генератора псевдослучайной гауссовской последовательности модели канала распространения.

SNR рассчитывается по формуле, представленной ниже:

$$SNR = S / (SN - S).$$

Результаты измерений фиксируются в дБ.

При большом числе испытаний, частота появлений битовых ошибок, т.е. отношение числа ошибок к общему числу битов, стремится к вероятности битовых ошибок.

Рекомендации для проведения исследования помехоустойчивости. При отключенном генераторе шумов канала распространения на выходе преобразователя измеряется уровень мощности сигнала **S**. Подключив генератор шумов канала распространения, меняя параметр **Variance** добиваемся скажем 1-ой ошибки на **1000** битов, получаем одну точку водопадоподобной кривой. Далее, постепенно увеличивая мощность шумов с помощью параметра **Variance** добиваемся по очереди 3-х, 5-ти и 8-ми ошибок, получаем 4-е точки водопадоподобной кривой, которую строим в полулогарифмическом масштабе с помощью **MatLab**- функции **semilogy**.

Таким образом, измерение **SNR** при соответствующем числе ошибок позволяет определить точки водопадоподобной характеристики, позволяющей оценить помехоустойчивость модема.

3 ПРИНЦИП РАБОТЫ ФУНКЦИОНАЛЬНОЙ SIM-МОДЕЛИ BPSK-МОДЕМА

Опишем принцип работы **BPSK** модема с приёмником прямого преобразования по функциональной модели представленной на рис. 2.1. Источник на основе генератора **Random Number** и блока **Sign** формирует псевдослучайный информационный биполярный битовый поток.

Квадратурный модулятор на основе блока **Product** умножает биполярный битовый поток на колебания несущей частоты $\sin(\omega_0 t)$.

Модель канала распространения на основе блока **Sum**, на второй вход которого поступает шумовая псевдослучайная последовательность с гауссовским распределением **Random Number** с параметром **Sample Time** определяющим необходимую широкополосность шумов канала распространения и параметром **Variance** регулирующим мощность шумов в процессе измерения помехоустойчивости.

Полосовой фильтр на основе блока **Analog Filter Design** с полосой пропускания $\Delta\omega = 4 \cdot \pi$ призван отобразить формирующий фильтр на выходе передающей части и входную фильтрацию на входе приемной части.

Демодулятор реализован умножением (блок **Product**) зашумлённого принятого радиосигнала с колебаниями генератора **Sine Wave** несущей частоты $\omega_0 = 15 \cdot \pi$ радиан/сек - $\sin(\omega_0 t)$. На выходе умножителя **ФНЧ (LF)** с полосой пропускания порядка $\Delta\omega = 2 \cdot \pi$ радиан фильтруют высокочастотные продукты преобразования. Блоки **Gain = 2** компенсируют коэффициент тригонометрических преобразований равный **1/2**.

Далее форма принятого сигнала регенерируется блоком экстраполятора нулевого порядка **Zero Order Hold** с шагом в **1** бит и блоком двухстороннего ограничителя на основе функции **sign(x)**.

Блок **Scope**, установленный на выходе, позволяет наблюдать и сравнивать принятый информационный поток и подаваемый на второй вход передаваемый информационный поток.

Опишем принцип работы **BPSK** модема с корреляционным приёмником по функциональной модели представленной на рис. 2.2. Поскольку передающая часть модемов совпадает, рассмотрим подробнее корреляционный приёмник. Корреляционный приёмник работает с отсчетами в пределах каждого бита. Отсчеты принятого зашумленного **BPSK** сигнала в пределах текущего бита накапливаются в буфере первого плеча коррелятора, в буфере второго плеча коррелятора в это время накапливаются отсчеты несущего опорного гармонического колебания. Подразумевается, что генератор опорного колебания приёмника синхронизирован с генератором опорного колебания передатчика системой фазовой автоподстройки частоты **ФАПЧ** с точностью до фазы. Далее накопленные в буферах отсчеты покомпонентно перемножаются и суммируются как векторы (скалярное произведение). Результат этого скалярного произведения представляет собой отсчет корреляционной функции при смещении $\tau = 0$. В зависимости от знака принимаемого бита и шумов канала распространения значение отсчета корреляционной функции может быть как положительным так и отрицательным. Применение блока двухстороннего ограничителя на основе функции **sign(x)** нормирует принятые значения к ± 1 , что эквивалентно восстановлению биполярной формы принятого информационного потока.

Измерение отношения сигнал/шум **SNR** может быть осуществлено как на входе так и на выходе коррелятора, что позволяет оценить влияние коррелятора на **SNR** в зависимости от конкретных условий.

Для иллюстрации работы **BPSK** модема на рис. 3.1 приведены фрагменты осцилограмм **BPSK** модулированного сигнала, зашумленного передаваемого сигнала и сигнала прошедшего полосовой фильтр.

На рисунке 3.2 приведен фрагмент осцилограммы принятого в шумах сигнала после

ФНЧ демодулятора.

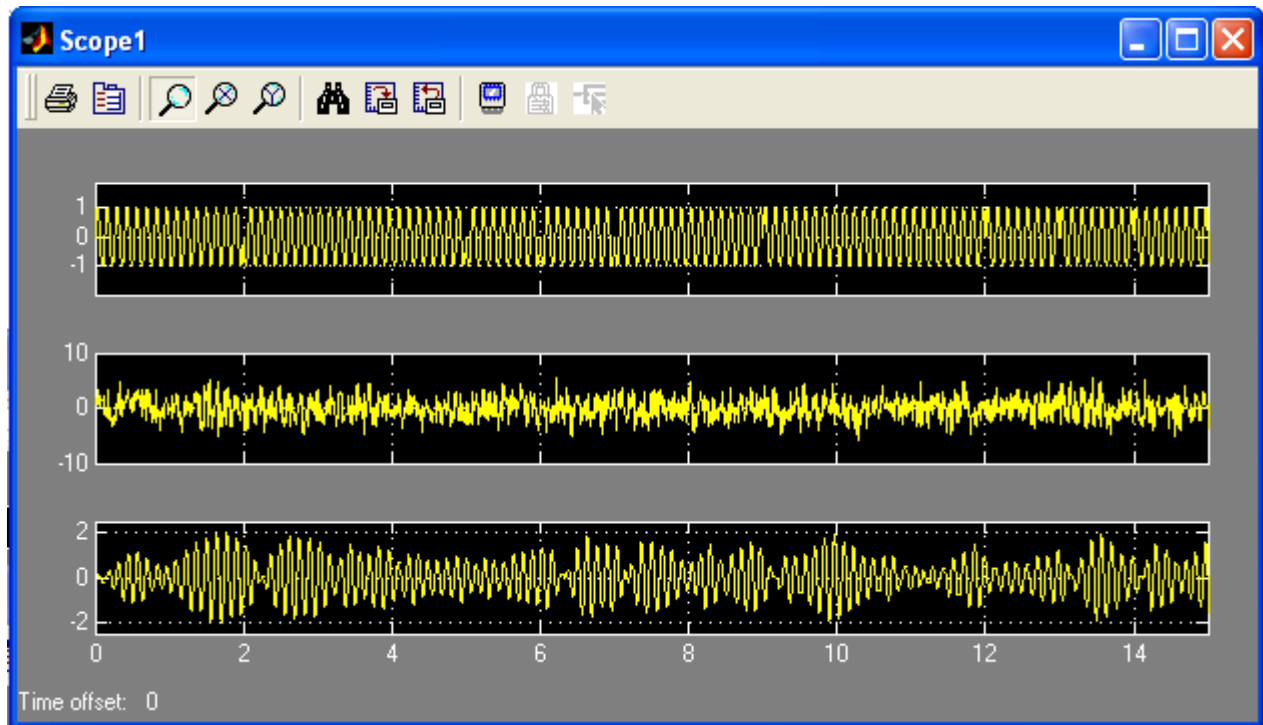


Рисунок 3.1 - Фрагменты осциллографов **BPSK** модулированного сигнала, зашумленного передаваемого сигнала и сигнала прошедшего полосовой фильтр

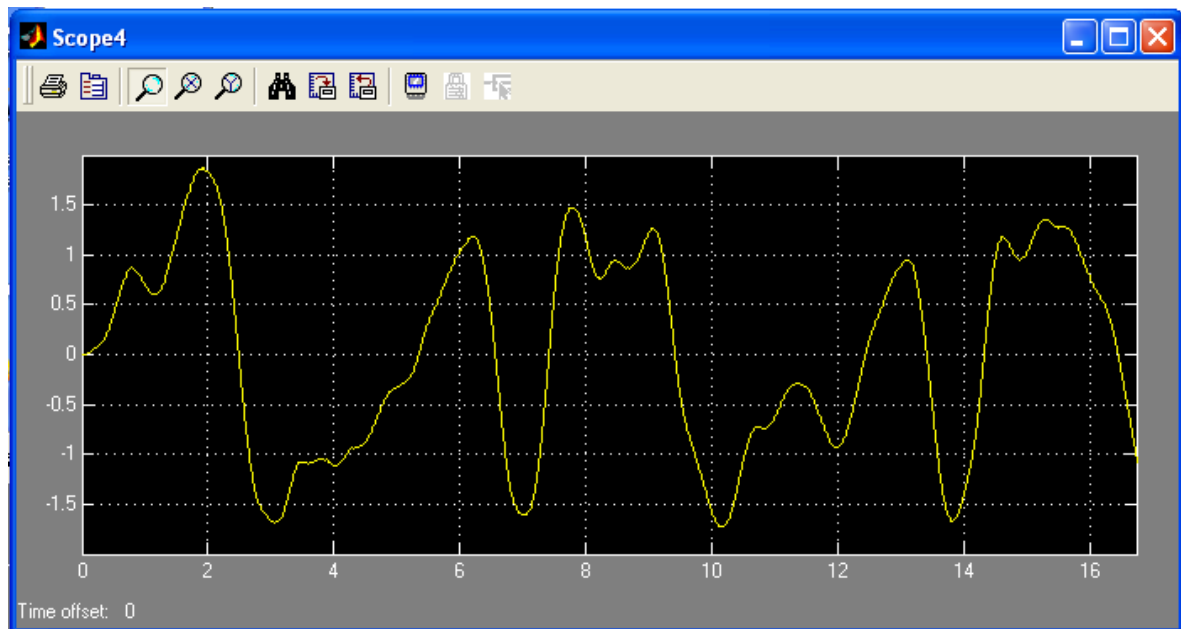


Рисунок 3.2 - Фрагмент осциллографа принятого в шумах сигнала после **ФНЧ** демодулятора

На рисунке 3.3 приведены фрагменты осциллографов принятого и передаваемого информационных потоков.

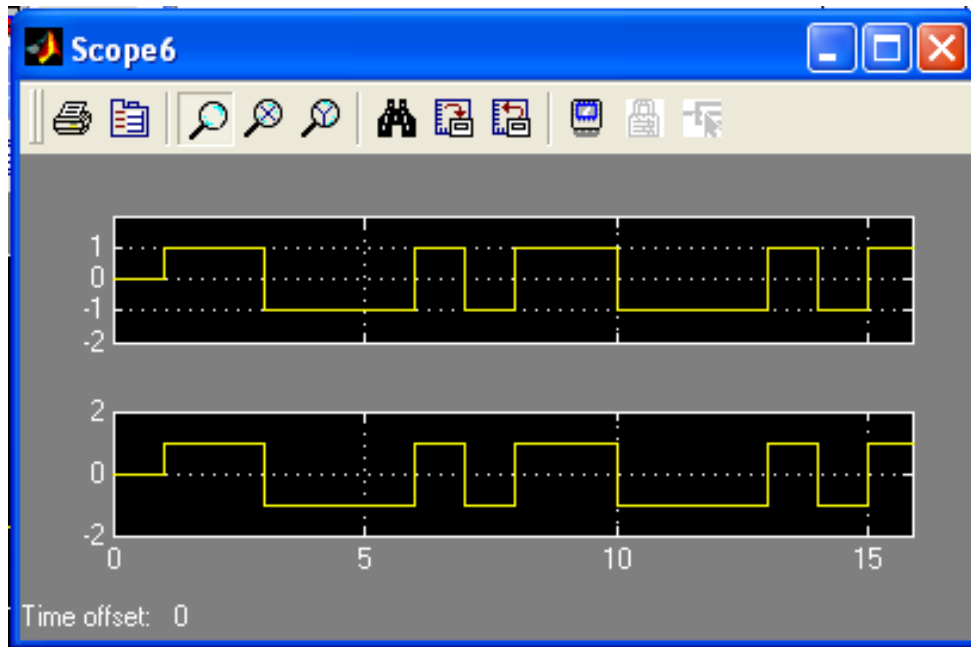


Рисунок 3.3 - Фрагменты осциллографм принятого и передаваемого информационных потоков в отсутствии шумов

На рисунке 3.4 приведена спектрограмма **BPSK** модулированного сигнала в отсутствие шумов.

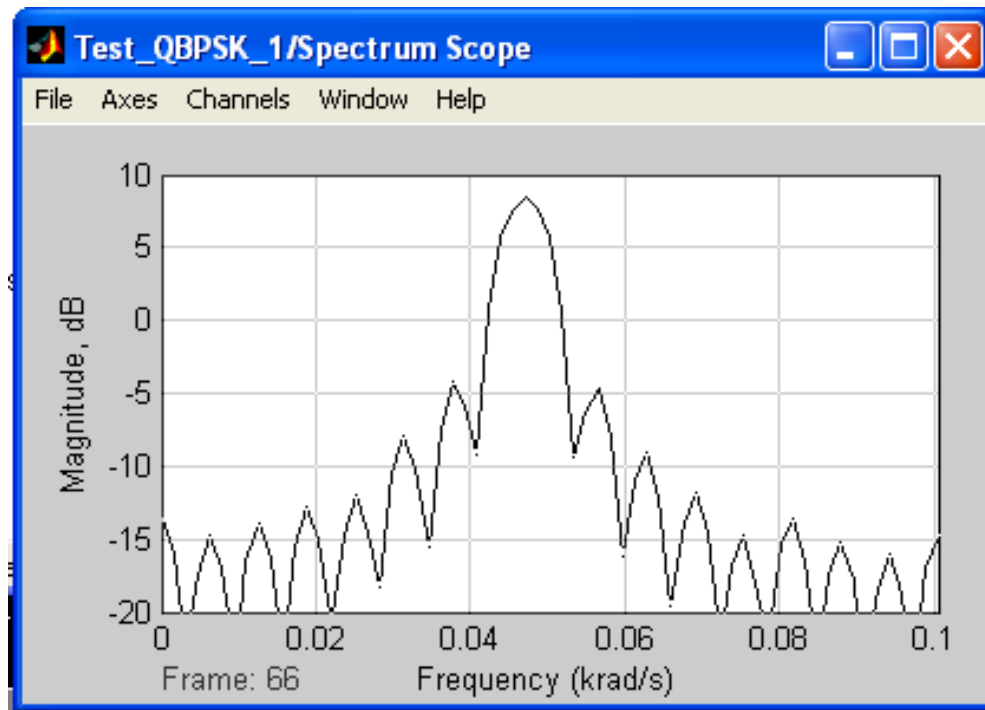


Рисунок 3.4 - Спектрограмма **BPSK** модулированного сигнала в отсутствие шумов

На рисунке 3.5 приведен фрагмент осциллограммы на выходе коррелятора в присутствии шумов.

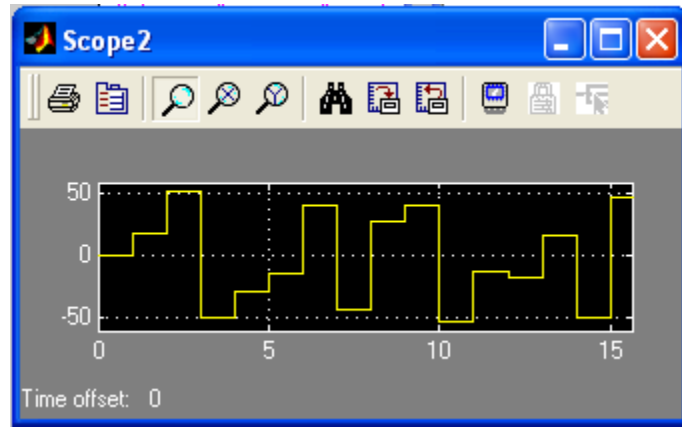


Рисунок 3.5 - Фрагмент осциллографа на выходе коррелятора в присутствии шумов

Приведённые осциллографы модельного исследования **BPSK** модема призваны ориентировать студента в процессе выполнения лабораторной работы.

4 КРАТКОЕ ОПИСАНИЕ ПАКЕТА SIMULINK И ИСПОЛЬЗУЕМЫХ БЛОКОВ

Пакет *Simulink* разработан компанией *Mathworks* и распространяется в составе математического пакета *MatLab*. Пакет основан на графическом интерфейсе и является типичным средством визуально-ориентированного программирования. Он обладает обширной библиотекой готовых блоков с модифицируемыми параметрами для построения моделей рассматриваемых систем и наглядными средствами визуализации результатов моделирования [4 – 7].

4.1 Запуск и работа с пакетом *Simulink*

Для запуска пакета *Simulink* необходимо предварительно выполнить запуск системы *MatLab*. После открытия командного окна системы *MatLab* нужно запустить систему *Simulink*. Это можно сделать одним из трех способов:



- нажать кнопку **(*Simulink*)** на панели инструментов системы *MatLab*;
- в строке командного окна *MatLab* напечатать *Simulink* и нажать клавишу **Enter**;
- выполнить опцию *Open* в меню *File* и открыть файл модели (*mdl*- файл).

Последний способ предпочтителен при запуске уже готовой и отлаженной модели, когда требуется лишь провести моделирование и не нужно добавлять новые блоки в модель. При применении двух первых способов открывается окно обозревателя библиотеки блоков (*Simulink Library Browser*) (рисунок 4.1).

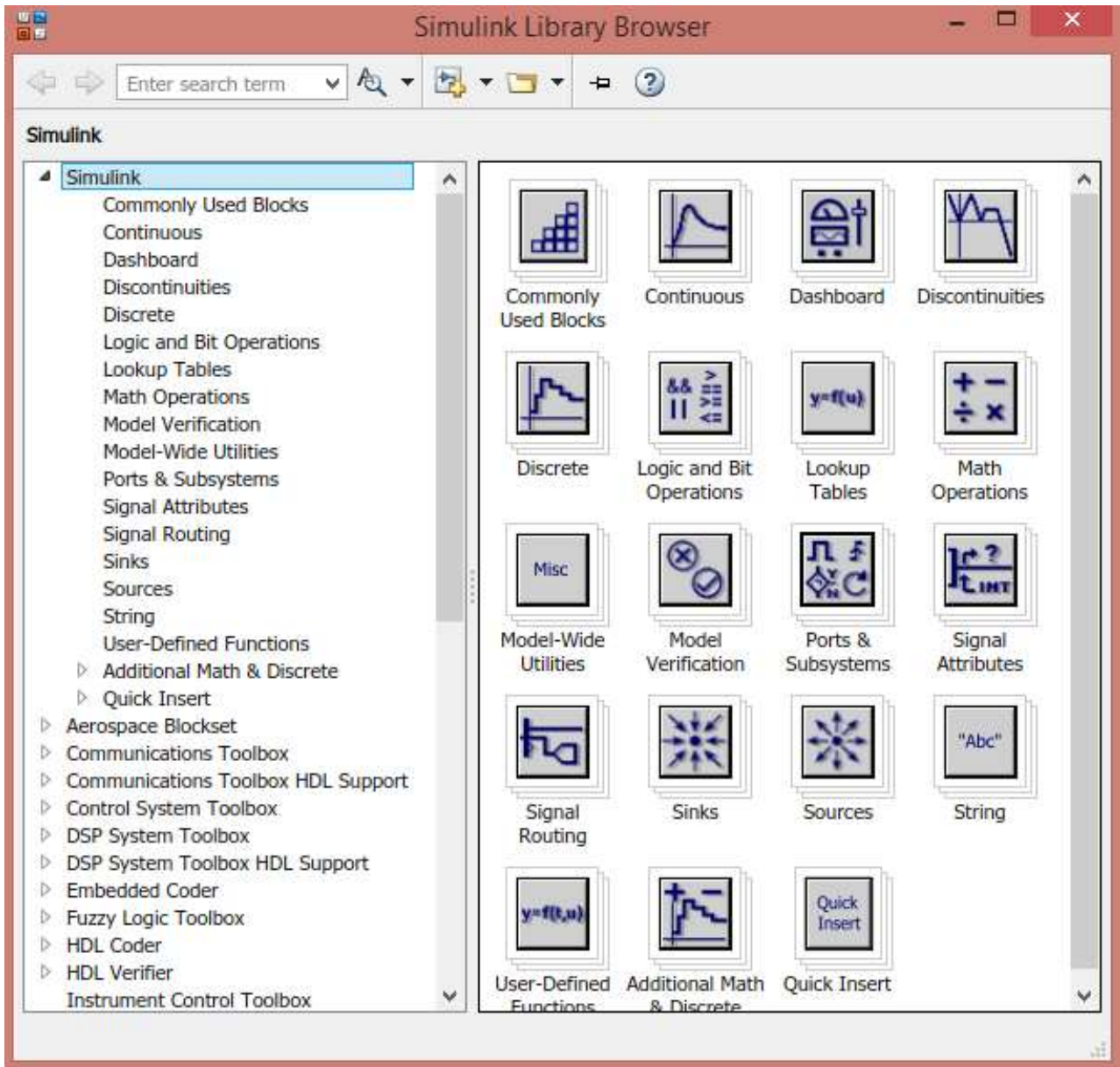


Рисунок 4.1 – Библиотека блоков *Simulink Library Browser*

На рисунке 4.1 выведена библиотека системы *Simulink* (в левой части окна) и показаны ее разделы (в правой части окна). Основная библиотека системы содержит следующие разделы:

- **Continuous** – блоки аналоговых элементов;
- **Discontinuous** – блоки нелинейных элементов;
- **Discrete** – блоки дискретных элементов;
- **Look-Up Tables** – блоки таблиц;
- **Math Operations** – блоки элементов, определяющие математические операции;
- **Model Verification** – блоки проверки свойств сигнала;
- **Model-Wide Utilities** – раздел дополнительных утилит;
- **Port & Subsystems** – порты и подсистемы;

- **Signal Attributes** – блоки маршрутизации сигналов;
- **Signal Routing** – блоки маршрутизации сигналов;
- **Sinks** – блоки приема и отображения сигналов;
- **Sources** – блоки источников сигнала;
- **User-Defined Function** – функции, определяемые пользователем.

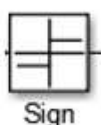
4.2 Описание используемых блоков библиотеки *Simulink*

Ниже описаны основные блоки базовых разделов библиотеки *Simulink*, используемые в функциональной схеме *OQPSK*-модема:



Random Number

Random Number – блок источника случайного дискретного сигнала с нормальным распределением. Назначение: формирование случайного сигнала с нормальным распределением уровня сигнала. Параметры блока: **Mean** - среднее значение сигнала, **Variance** - дисперсия (среднеквадратическое отклонение), **Initial seed** – начальное значение.

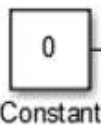


Sign

Sign – блок определения знака сигнала. Назначение: определяет знак входного сигнала, при этом, если x – входной сигнал, то сигнал на выходе определяется выражением:

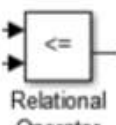
$$\begin{aligned} & -1, \text{ где } x < 0; \\ sign = & 0, \text{ где } x = 0; \\ & 1, \text{ где } x > 0. \end{aligned}$$

Параметры блока: флагок **Enable zero crossing detection** позволяет фиксировать прохождение сигнала через нулевой уровень.



Constant

Constant – блок источника постоянного сигнала. Назначение: Задает постоянный по уровню сигнал. Параметры: **Constant value** – постоянная величина, **Interpret vector parameters as 1-D** – интерпретировать вектор параметров как одномерный (при установленном флагке). Значение константы может быть действительным или комплексным числом, вычисляемым выражением, вектором или матрицей.



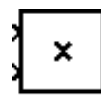
Relational Operator

Relational Operator – блок вычисления операции отношения. Назначение: блок сравнивает текущие значения входных сигналов. Параметры: **Relational Operator** – тип операции отношения (выбирается из списка): $\ll=$ – тождественно равно, $\sim=$ – не равно, \ll – меньше, $\ll=$ – меньше или равно, $\gg=$ – больше или равно, \gg – больше.



Data Type Conversion

Data Type Conversion – блок преобразования типа сигнала. Назначение: блок преобразует тип входного сигнала. Параметры: **Data type** – тип данных выходного сигнала. Может принимать значения (выбираются из списка): **auto, double, single, int8, int16, int32, uint8, uint16, uint32 и boolean**. **Saturate on integer overflow** (флагок) – подавляет переполнение целого. При установленном флагке ограничение сигналов целого типа выполняется корректно.



Product

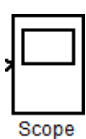
Product – блок умножения и деления. Назначение: вычисление произведения текущих значений сигналов. Параметры блока: **Number of inputs** – количество входов, может задаваться как число или как список знаков. В списке знаков можно использовать знаки: * – умножить и / – разделить. **Multiplication** – способ выполнения операции, может принимать значения из списка: **Element-wise** – поэлементный; **Matrix** – матричный. Флагок **Show additional parameters** – показать дополнительные параметры. При выставленном флагке отображается окно списка **Output data type mode**, в нашем случае флагок не используется.



Sine Wave

Sine Wave – блок источника синусоидального сигнала. Назначение:

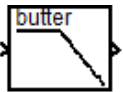
формирование синусоидального сигнала с заданной частотой, амплитудой, фазой и смещением. Параметры блока: **Sine Type** – способ формирования сигнала реализуется двумя алгоритмами: **Time-based** – по текущему времени (для аналоговых систем) или по значению сигнала на предыдущем шаге и величине такта дискретности (для дискретных систем); **Sample-based** – по величине такта дискретности и количеству расчетных шагов на один период синусоидального сигнала. Вид окна задания параметров меняется в зависимости от выбранного способа формирования синусоидального сигнала.



Scope – блок осциллографа. Назначение: построение графиков исследуемых сигналов как функций времени. Открытие окна осциллографа производится двойным щелчком ЛКМ на пиктограмме блока. В случае векторного сигнала каждая компонента вектора отображается отдельным цветом. Настройка окна осциллографа выполняется с помощью панелей инструментов, позволяющих: осуществить печать содержимого окна осциллографа; установить параметры, в частности, **Number of axes** – число входов осциллографа, **Time range** – отображаемый временной интервал и другие; изменить масштабы графиков; установить и сохранить настройки; перевести в плавающий режим и так далее.

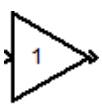


Add – блок сумматора. Назначение: вычисление алгебраической суммы текущих значений входных сигналов. Параметры блока: **Icon shape** – форма блока, выбирается из списка: **round** – круг; **rectangular** – прямоугольник. **List of sign** – список знаков из набора: + – плюс; - – минус, | – разделитель. Флажок **Show additional parameters** – показать дополнительные параметры, при выставленном флажке отображаются окна списка **Output data type mode**, в нашем случае не используется. Количество входов и соответствующие им операции определяются списком знаков **List of sign**. При этом метки входов обозначаются соответствующими знаками. В списке **List of sign** можно также указать число входов, при этом все входы будут суммирующими.

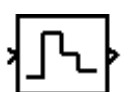


Analog Filter Design

Analog Filter Design – блок аналогового фильтра заданного метода проектирования и типа из подраздела **Filter Design**; подраздела **Filtering**, раздела **DSP Blockset**. Назначение: аналоговая фильтрация низкочастотных составляющих спектра входного сигнала. Параметры блока: **Design method** – метод проектирования, выбирается из списка: **Butterworth** – фильтр Баттервортса; **Chebuschev I** – фильтр Чебышева 1-го рода; **Chebuschev II** – фильтр Чебышева 2-го рода; **Elliptic** – фильтр эллиптический; **Bessel** – фильтр Бесселя. **Filter type** – тип фильтра, выбирается из списка: **Lowpass** – нижних частот; **Highpass** – верхних частот; **Bandpass** – полосно-пропускающий; **Bandstop** – полосно-заграждающий. Далее для каждого метода проектирования и типа фильтра выдается свой список параметров. Так для фильтра Баттервортса типа нижних частот параметрами являются: **Filter order** – порядок фильтра; **Passband edge frequency (rads/sec)** – нижняя граничная частота (радиан в секунду). Для других методик проектирования и типов фильтров определяемые параметры очевидны.



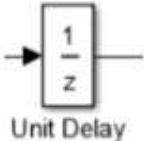
Gain – блок усилителя. Назначение: блок **Gain** умножает входной сигнал на постоянный коэффициент; Параметры блока: **Multiplication** – способ выполнения операции, значение параметра выбирается из списка: **Element-wise K*u** – поэлементный; **Matrix K*u** – матричный, коэффициент усиления является левосторонним оператором; **Matrix u*K** – матричный, коэффициент усиления является правосторонним оператором; **Matrix K*u** (**u**-вектор) – векторный, коэффициент усиления является левосторонним оператором. Флажок **Show additional parameters** – показать дополнительные параметры, при выставленном флажке отображаются окна списков **Parameter data type mode**, **Output data type mode**. **Saturate on integer** – подавлять переполнение целого. При установленном флажке ограничение сигналов целого типа выполняется корректно.



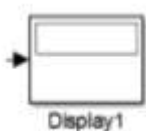
Zero-Order Hold

Zero-Order Hold – экстраполятор нулевого порядка. Назначение:

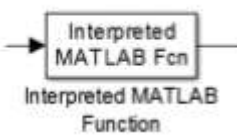
экстраполяция входного сигнала на интервале дискретизации. Блок фиксирует значение входного сигнала в начале интервала дискретизации и поддерживает на выходе это значение до окончания интервала дискретизации. Затем выходной сигнал изменяется скачком до величины входного сигнала на следующем шаге дискретизации. Параметры блока: *Sample time* – тakt дискретности. Блок экстраполатора нулевого порядка может использоваться также для согласования работы дискретных блоков, имеющих разные такты дискретности.



Unit delay – блок единичной дискретной задержки. Назначение: выполняет задержку дискретного сигнала на заданный шаг модельного времени. Параметры блока: *Initial conditions* – начальное значение выходного сигнала; *Sample time* – шаг модельного времени.

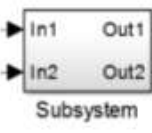


Display – блок цифрового дисплея. Назначение: отображает значение сигнала в виде числа. Параметры: *Format* – формат отображения данных. Параметр *Format* может принимать следующие значения: *short* – 5 значащих десятичных цифр, *long* – 15 значащих десятичных цифр, *short_e* – 5 значащих десятичных цифр и 3 символа степени десяти, *long_e* – 15 значащих десятичных цифр и 3 символа степени десяти, *bank* – "денежный" формат. Формат с фиксированной точкой и двумя десятичными цифрами в дробной части числа; *Decimation* – кратность отображения входного сигнала, при *Decimation* = 1 отображается каждое значение входного сигнала, при *Decimation* = 2 отображается каждое второе значение, при *Decimation* = 3 – каждое третье значение и т.д.; *Sample time* – шаг модельного времени. Определяет дискретность отображения данных; *Floating display* (флажок) – перевод блока в "свободный" режим. В данном режиме входной порт блока отсутствует, а выбор сигнала для отображения выполняется щелчком ЛВМ на соответствующей линии связи. В этом режиме для параметра расчета *Signal storage reuse* должно быть установлено значение *off* (вкладка *Advanced* в окне диалога *Simulation parameters...*).



MatLab Fcn – блок задания функции. Назначение: задает выражение в стиле языка программирования *MatLab*. Параметры: *MatLab function* – Выражение на языке *MatLab*. *Output dimensions* – размерность выходного сигнала. Значение параметра минус 1 предписывает блоку определять размерность автоматически. *Output signal type* – тип выходного сигнала.

Выбирается из списка: *real* – действительный сигнал, *complex* – комплексный сигнал, *auto* – автоматическое определение типа сигнала; *Collapse 2-D results to 1-D* – преобразование двумерного выходного сигнала к одномерному.



Subsystem – виртуальная и монолитная подсистемы. Доступ к окну параметров подсистемы осуществляется через меню *Edit* командой *Block Parameters*. Параметры: *Show port labels* – показать метки портов, *Treat as atomic unit* (флажок) – считать подсистему монолитной. Таким образом, блоки виртуальной и монолитной подсистем – это один и тот же блок, отличающийся значением данного параметра. *Access* – доступность подсистемы для изменений. Выбирается из списка: *ReadWrite* – пользователь может открывать и изменять подсистему, *ReadOnly* – пользователь может открывать подсистему только для просмотра, *NoReadOrWrite* – пользователь не может открывать и изменять подсистему; *Name of error callback function* – имя функции используемой для обработки ошибок возникающих в данной подсистеме.



Переключатель. Назначение: Выполняет переключение входных сигналов по сигналу управления.

Параметры блока: *Criteria for passing first input*: Значение параметра выбирается из списка:

U2>= Threshold – входной сигнал больше или равен пороговому значению;

U2> Threshold – входной сигнал больше порогового значения;
U2~= Threshold – входной сигнал не равен пороговому значению.
Threshold – порог.



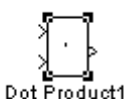
Pulse Generator1

Pulse generator – блок источника импульсного сигнала. *Назначение:* формирование сигнала в форме прямоугольных импульсов. *Параметры блока:* **Pulse Type** – способ формирования сигнала, может принимать два значения: **Time-based** – по текущему времени; **Sample-based** – по величине такта дискретности и количеству шагов моделирования. Вид окна параметров зависит от выбранного способа формирования сигнала. **Amplitude** – амплитуда; **Period** – период, задается в секундах при способе **Time-based** или количеством тактов при способе **Sample-based**; **Pulse width** – ширина импульса, задается в процентах от периода при способе **Time-based** или количеством тактов при способе **Sample-based**; **Phase delay** – фазовая задержка, задается в секундах при способе **Time-based** или количеством тактов при способе **Sample-based**; **Sample time** – такт дискретности; флажок **Interpret vector parameters as 1 - D** – интерпретировать вектор как массив скаляров.



Clock3

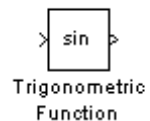
Источник времени. Назначение: Формирует сигнал, величина которого на каждом шаге равна текущему времени моделирования. Параметры блока: **Display time:** Включение отображения времени на пиктограмме; **Decimation:** Шаг обновления времени.



Блок скалярного произведения. Назначение: Выполняет вычисление скалярного произведения двух векторов. Параметров блока нет. Блок выполняет вычисление выходного сигнала в соответствии с выражением

$$y = \text{sum}(\text{conj}(u1) .* u2),$$

где $u1$ и $u2$ – входные векторы; conj – операция комплексного сопряжения; sum – операция суммирования.



Trigonometric Function

Trigonometric Function- тригонометрическая функция. *Назначение:* вычисляет выбранную тригонометрическую функцию. *Параметры блока:* **Function**- вид вычисляемой функции. Вид функции выбирается из списка: **sin, cos, tan, asin, acos, atan, atan2, sinh, cosh, tanh.** **Output signal type**- тип выходного сигнала. Тип выходного сигнала выбирается из списка: **auto**- автоматическое определение типа, **real**- действительный сигнал, **complex**- комплексный сигнал. При векторном или матричном входном сигнале блок выполняет поэлементное вычисление заданной функции.



Complex to Real-Imag1

Блок вычисления комплексного числа по его действительной и мнимой части. Параметры блока:

Input: Значение параметра выбирается из списка:

Real – действительная часть;

Image – мнимая часть;

Real&Imag – действительная и мнимая часть.



Complex to Real-Imag1

Блок вычисления действительной и/или мнимой части комплексного числа. Параметры блока:

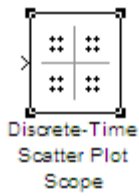
Output: Тип сигнала выбирается из списка:

Real – действительная часть;

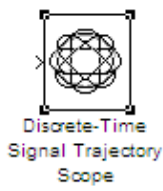
Image – мнимая часть;

Real&Imag – действительная и мнимая часть.

Входной сигнал блока может быть скалярным, векторным или матричным.



Discrete-Time Scatter Plot Scope – блок отображения диаграммы рассеяния фазовых состояний сигнала из подраздела **Comm Sinks** раздела **Communication Blockset** библиотеки **Simulink** [6]. **Назначение:** отображение диаграммы рассеяния фазовых состояний за счет влияния полосы пропускания и помех тракта передачи. **Параметры блока:** Флажок **Show Plotting Properties** – показать графические установки; **Samples per Symbol** – шаг периода символа; **Offset (samples)** – смещение шагов; **Points displayed** – число отсчетов сигнала, начиная с которого отображается диаграмма; **New points per display** – число отсчетов при обновлении отображения; флажки **Show Rendering Properties**, **Show Axes Properties**, **Show Figure Properties** – показать свойства отображения, осей и фигуры в нашем случае не используются.



Discrete-Time Signal Trajectory Scope – блок отображения диаграммы переходов фазовых состояний сигнала из подраздела **Comm Sinks** раздела **Communication Blockset** библиотеки **Simulink** [6]. **Назначение:** отображение диаграммы рассеяния фазовых состояний за счет влияния полосы пропускания и помех тракта передачи. **Параметры блока:** Флажок **Show Plotting Properties** – показать графические установки; **Samples per Symbol** – шаг периода символа; **Offset (samples)** – смещение шагов; **Points displayed** – число отсчетов сигнала, начиная с которого отображается диаграмма; **New points per display** – число отсчетов при обновлении отображения; флажки **Show Rendering Properties**, **Show Axes Properties**, **Show Figure Properties** – показать свойства отображения, осей и фигуры в нашем случае не используются.

В нашем случае диаграммы блоков **Discrete-Time Scatter Plot Scope** и **Discrete-Time Signal Trajectory Scope** позволяют оценить влияние метода модуляции, полосы пропускания и шумов канала передачи на фазовую диаграмму состояний принятого сигнала.

5 ЭКСПЕРИМЕНТАЛЬНОЕ ЗАДАНИЕ

Исходные данные.

Для исследования **BPSK** модема устанавливаем в генераторе **Random Number** с помощью параметра **Sample Time** длительность бита информационного потока $\tau_b = 1$, для обеспечения широкополосности шума в генераторе шума канала распространения параметр **Sample Time** задать равным **0.0125**; частоты опорных гармонических генераторов выставить равными $\omega_0 = 15 \cdot pi$ радиан/сек; для корректной работы блока *Averaging Power Spectral Density* следующие параметры: **Length of buffer – 128**, **Number of points for fft – 512**, **Plot after how many points – 64**, **Sample time – 0.05**. Все основные параметры блоков, в качестве подсказок указаны на рис. 2.1 и 2.2 над блоками.

Экспериментальное задание.

1. Собрать *Sim*-модели **BPSK** модемов с приёмником прямого преобразования и корреляционным приёмником, показанные на рисунках 2.1 и 2.2. Параметры моделей задать, как показано на рис. 2.1 и 2.2. Отладку моделей вести при отключенных шумах канала распространения.
2. Определить при каком уровне шума появляется вероятность появления битовой ошибки равная **0.001** для исследуемых моделей. По полученным данным рассчитать **SNR** (в **dB**). Длину информационного потока установить порядка **1000** битов. Данные исследования занести в отчет.
3. Сравнить результаты измерения помехоустойчивостей (**SNR**) **BPSK** модемов и сделать выводы.
4. Составить отчёт по проделанной работе (цели, задачи, функциональная схема, принцип работы, наиболее важные осциллографмы и спектрограммы, выводы).

6 КОНТРОЛЬНЫЕ ВОПРОСЫ

1. Принцип **BPSK** манипуляции (модуляции).
2. Принцип приёмника прямого преобразования (синхронного детектирования).
3. Принцип работы корреляционного приёмника.
4. Устройство **BPSK** модулятора.
5. Назначение ФНЧ (**LF**) **BPSK** демодулятора.
6. Назначение полосового фильтра в **BPSK** модеме.
7. От чего зависит вероятность появления битовых ошибок?
8. Какова помехоустойчивость **BPSK** модуляции среди **MPSK** модуляций?
9. Какова спектральная эффективность **BPSK** модуляции среди **MPSK** модуляций?
10. Чем определяется полоса пропускания псевдослучайного битового потока?

СПИСОК ИСПОЛЬЗОВАННЫХ ИСТОЧНИКОВ

1. Муравьёв В.В. Полосовая модуляция в системах телекоммуникаций: учеб.-метод. пособие / В.В. Муравьёв, С.А. Кореневский, Т.М. Печень. – Минск: БГУИР, 2019.- 79 с.
2. Леонидов В.В. Конспект лекций «Модуляция и демодуляция цифровых сигналов». Учебно-методический комплект по дисциплине «Цифровая обработка». МГТУ имени Н.Э. Баумана. [Электронный ресурс]. – Режим доступа: <https://leonidov.su/wp-content/uploads/2020/04/Modulation-and-Demodulation-of-Digital-Signals-Lecture-V.V.-Leonidov.pdf> (дата обращения 09.09.2022).
3. Сигналы с двоичной фазовой манипуляцией (BPSK). [Электронный ресурс]. Режим доступа: https://ru.dsplib.org/content/signal_bpsk/signal_bpsk.html (дата обращения 14.09.2022).
4. Гультяев А.К. MatLab 5.3. Имитационное моделирование в среде Windows: Практическое пособие / А.К. Гультяев – СПб.: КОРОНА принт, 2001.– 400 с.
5. Черных И.В. Simulink: среда создания инженерных приложений. / Под общ. ред. В.Г. Потемкина – М.: ДИАЛОГ-МИФИ, 2003.– 496 с.
6. Дьяконов В.П. MatLab 6.5 SP1/7 + Simulink 5/6. Основы применения. Сер. Библиотека профессионала / В. П. Дьяконов - М.: СОЛОН-Пресс, 2005.– 800 с.
7. Дьяконов В.П. MatLab 6.5 SP1/7 + Simulink 5/6 в математике и моделировании. Сер. Библиотека профессионала / В. П. Дьяконов - М.: СОЛОН-Пресс, 2005.– 576 с.